

# مطالعه الکتروشیمیایی اثر بازدارندگی نمک تارترات بر خود خوردگی آلومینیم خالص در محلول پتاسیم هیدروکسید باتری های آلومینیم - هوا

علی حسن زاده<sup>۱\*</sup>، امید طائری<sup>۲</sup>، فاطمه راوری<sup>۲</sup>

<sup>۱</sup> دانشیار، گروه شیمی فیزیک، دانشکده علوم و شیمی، دانشگاه ارومیه، ارومیه، ایران

<sup>۲</sup> گروه شیمی، دانشگاه پیام نور، تهران، ایران

<sup>۲</sup> استادیار، گروه شیمی، دانشگاه پیام نور، تهران، ایران

\* نویسنده مسئول: a.hassanzadeh@urmia.ac.ir

تاریخ دریافت: ۱۳۹۹/۰۴/۱۷ تاریخ پذیرش: ۱۳۹۹/۰۱/۱۳

## چکیده

در این کار تحقیقی، خود خوردگی فلز آلومینیم خالص (عنوان آند باتری های آلومینیم - هوا) در محلول یک مولار پتاسیم هیدروکسید در حضور و در غیاب نمک پتاسیم سدیم تارترات چهار آبه در دمای سی درجه سانتی گراد بررسی شده است. از آنجاییکه واکنش خود خوردگی آلومینیم (که همراه با آزاد شدن هیدروژن است) باعث از بین رفتن آلومینیم در محیط های قلیایی می شود و بنوبه خود باعث کاهش توان باتری می گردد، افزودن بازدارنده ها به الکتروولیت موثرترین روش برای حل این مشکل است. در این مطالعه، خود خوردگی فلز آلومینیم با افزودن بازدارنده به الکتروولیت با بهره گیری از روش های الکتروشیمیایی شامل نمودارهای پلاریزاسیون، منحنی های امپدانسی و میکروسکوپ الکترونی روبشی مطالعه و ارزیابی شده است. نتایج حاصل نشان دهنده روند افزایش بازدارنده کی تارترات با افزایش غلظت در خوردگی آندی آلومینیم می باشد که این روند در غلظت بهینه، به ماکریسم مقدار خود می رسد. بازدارنده کی نمک تارترات به جذب سطحی آن بر روی آلومینیم ارتباط داده شد و در ادامه، جذب سطحی بازدارنده بر سطح فلز آلومینیم با الگوی لانگمویر مطابقت داده شد و پارامترهای ترمودینامیکی از قبیل ثابت تعادل (۵۰۰۰) و تغییرات انرژی آزاد گیس استاندارد جذب سطحی (۳۱/۵۷- کیلوژول بر مول) محاسبه گردید.

**کلیدواژه:** باتری های آلومینیم - هوا؛ بازدارنده خوردگی؛ منحنی های پلاریزاسیون؛ منحنی های امپدانس الکتروشیمیایی؛

# Electrochemical Study of Inhibitory Effect of Tartrate Salt on Self-Corrosion of Pure Aluminum in Potassium Hydroxide Solution of Aluminum-Air Batteries

A. Hassanzadeh<sup>1\*</sup>, O. Taeri<sup>2</sup>, F. Ravari<sup>3</sup>

1 Associated Professor, Department of Physical Chemistry, Faculty of Science and Chemistry, Urmia University, Urmia, Iran

2 Department of Chemistry, Payam-e-Noor University Tehran, Iran

3 Assistant Professor, Department of Chemistry, Payam-e-Noor University Tehran, Iran

\*Corresponding Author: a.hassanzadeh@urmia.ac.ir

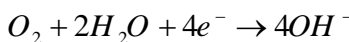
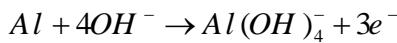
Submission: 2020, 04, 23 Acceptance: 2020, 07, 27

## Abstract

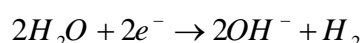
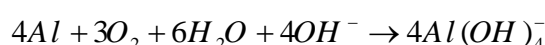
In this research, the corrosion of pure aluminum (as anode of aluminum-air batteries) in 1 M of potassium hydroxide solution in the presence and absence of potassium sodium tartrate tetra hydrate at 30 °C was investigated. Since the self-corrosion reaction of aluminum which accompanied with hydrogen release, causes aluminum to corrode in alkaline environments which in turn reduces battery power, adding inhibitors to the electrolyte is the most effective way to solve this problem. The corrosion study of aluminum has been performed by adding inhibitors to the electrolyte using electrochemical and spectroscopic methods including study of polarization diagrams, impedance curves, X-ray analysis and scanning electron microscopy. The results show increase in corrosion reduction process of aluminum sheet with increasing inhibitor concentration, which has the highest value at optimum concentration. In addition, the surface adsorption of inhibitors onto the aluminum was matched with the Langmuir adsorption isotherms. Thermodynamic parameters of adsorption such as equilibrium constant (5000) and standard Gibbs free energy change (-31.57 kJ/mole) were also calculated.

**Keywords:** Aluminum-air batteries; Corrosion inhibitor; Polarization curves; Electrochemical impedance curves;

الکتروولیت آن هیدروکسید سدیم، هیدروکسید پتاسیم و یا کلرید سدیم می‌باشد [۶]. واکنش‌های الکتروشیمیایی آندی و کاتدی در الکترودهای باتری‌های آلومینیم - هوا به ترتیب به صورت زیر می‌باشند:



همچنین برای واکنش کلی و خود خوردگی به ترتیب داریم:



به طور طبیعی آلومینیم خیلی خالص در آند باتری‌های آلومینیم - هوا استفاده می‌شود. از دیدگاه ترمودینامیکی آلومینیم خالص بعنوان آند در محلول‌های نمکی پتانسیلی معادل  $1/66$  ولت و در محلول‌های قلیایی  $-2/55$  ولت تولید می‌کند. تشکیل لایه سطحی روئین منجر به جابجایی مثبت در پتانسیل خوردگی آلومینیم شده و فعالیت آن را کاهش می‌هد [۸ و ۷]. بکارگیری آلومینیم خالص در باتری‌های آلومینیم - هوا نیازمند الکتروولیتی است که در آن لایه سطحی مزاحم تشکیل نشود لذا بایستی از محلول قلیایی استفاده شود ولی در محلول‌های قلیایی واکنش خود خوردگی آلومینیم با آزاد شدن گاز هیدروژن واکنشی مزاحم بوده و این واکنش باعث از بین رفتن سریع‌تر آند می‌گردد. افزودن بازدارنده‌ها به الکتروولیت موثرترین روش برای حل این مشکل است. مکانیزم بازدارنده‌گی با جذب سطحی مولکول‌های بازدارنده بر سطح آلومینیم مرتبط بوده که منجر به کندی آزاد شدن هیدروژن و کاهش واکنش خود خوردگی می‌گردد. محققین زیادی نقش بازدارنده‌ها را در خود خوردگی آلومینیم در محیط‌های متفاوت بررسی کردند که به شماری از این بازدارنده‌ها اشاره خواهیم کرد [۹ و ۳].

## ۱- مقدمه

دنیای امروزی در مرحله گذار از انرژی‌های سوخت فسیلی به عنوان انرژی پایه به سمت انرژی‌های پاک و تجدید پذیر می‌باشد، این ضرورت بدلیل نیاز زیستگاه بشر امروزی به کاهش آلودگی‌های محیط زیستی بوده و از این‌رو نیاز به تکنولوژی‌های نوین جهت ذخیره‌سازی انرژی‌های پاک، ایمن و در دسترس بیش از پیش احساس می‌شود. در میان این انرژی‌ها، باتری‌های الکتریکی قابل حمل در وسائل نقلیه نقش به سزایی ایفا می‌کنند. باتری‌های لیتیمی به دلیل چگالی انرژی پایین، کم بودن مقدار لیتیم در کره زمین و نیاز بالای انرژی در وسائل نقلیه، انتظارات را بر آورده نمی‌سازند. بنابراین داشتن استراتژی نوین و جایگزین جدید برای انرژی‌های قابل ذخیره که کاربردهای صنعتی روز دنیا را تامین نماید، مورد نیاز می‌باشد. در این میان باتری‌های فلز - هوا به دلیل داشتن چگالی انرژی بالا و قابلیت‌های دیگر، مورد علاقه فراوان جهت توسعه در صنایع مختلف از جمله خودرو، سفینه‌های هوایی، دریایی و کشتی‌ها می‌باشند. تاکنون انواع مختلفی از باتری‌های فلز - هوا از قبیل لیتیم - هوا، سدیم - هوا، پتاسیم - هوا، روی - هوا، منیزیم - هوا و آلومینیم - هوا کاربردهای شده‌اند. در این میان باتری‌های آلومینیم - هوا کاربردهای وسیعی در ذخیره انرژی دارند. این باتری‌ها در آینده به دلیل قیمت پایین و ظرفیت انرژی ویژه ( $Ah/g$ )  $2/98$  خیلی بیشتر از منیزیم - هوا با ظرفیت انرژی ویژه ( $Ah/g$ )  $2/20$  و روی - هوا با ظرفیت انرژی ویژه ( $Ah/g$ )  $1/13$ . کاربرد دارند [۳]. علاوه بر این، آلومینیم یک فلز ارزان قیمت و دوست دار طبیعت با توانایی بازگشت به چرخه طبیعت بالا می‌باشد [۴]. باتری‌های آلومینیم - هوا دارای ولتاژ الکتریکی نظری  $2/75$  ولت نسبتاً بالا و دارای چگالی انرژی ( $kWh/kg$ )  $8/7$  می‌باشند که فراتر از باتری‌های لیتیمی می‌باشد [۴ و ۵]. باتری‌های آلومینیم - هوا از آند آلومینیومی، الکتروولیتی مناسب و کاتد هوا تشکیل می‌شوند که معمولاً

شرکت متوجه سوئیسی انجام شد که در آن توری پلاتین بعنوان الکترود کمکی، کالومل اشباع بعنوان الکترود مرجع و صفحه آلومینیومی خالص بعنوان الکترود کار استفاده شده است. در سرتاسر مقاله تمامی مقادیر پتانسیل‌های اندازه‌گیری شده نسبت به الکترود مرجع کالومل اشباع گزارش شده‌اند. منحنی‌های پلاریزاسیون در محدوده پتانسیلی ۲-۱ ولت تا ۱-۱ ولت با سرعت روبش آندی یک میلی ولت بر ثانیه و با جاروب خطی و تاثر حاصل شدند. اندازه‌گیری‌های امپدانسی در محدوده فرکانسی ۱۰۰ کیلوهرتز تا ۱۰ هرتز با یک سیگنال تحریک کننده سینوسی با دامنه ۵ میلی ولت و با روبش فرکانسی از بالا به پایین حاصل شدند. تصاویر SEM قطعات الکترود کار توسط دستگاه Phenom-Prox گرفته شده‌اند. صفحه آلومینیم خالص الکترود کار با درصد خلوص ۹۹/۹۶ از شرکت مرک آلمان خریداری شده و مشخصات زیر را دارند.

عنصر	درصد وزنی
Fe	۰/۰۰۰۶
N	۰/۰۰۵
As	۰/۰۰۰۲
Cu	۰/۰۰۵
Mn	۰/۰۰۲
Si	۰/۰۲
Zn	۰/۰۰۵
Al	باقیمانده

هانگ بین و همکارانش تاثیر افزودن بازدارنده‌ها را در الکتروولیت‌های قلیایی بعنوان ساده‌ترین و در عین حال موثرترین روش در واکنش‌های خوردگی آلومینیم خالص در محیط‌های قلیایی را بررسی نموده و شیوه‌ای نوین در کاهش سرعت خود خوردگی آلومینیم در محیط‌های قلیایی ارائه کردند. آنها نشان دادند که افزودن استانات سدیم منجر به ایجاد بازدارنده‌های موضعی در سطح آلومینیم می‌نماید که به نوبه خود باعث کاهش میزان خود خوردگی می‌گردد [۹]. شاوو و همکارانش اثر بازدارنده‌گی یون‌های تارتارات در حضور یون‌های کلسیم بر خوردگی آلومینیم فوق العاده خالص را با روش‌های کاهش وزن، نمودارهای تافلی، امپدانسی و اندازه‌گیری میزان تصاعد گاز هیدروژن در غلظت نسبتاً بالای بازدارنده بررسی نمودند. آنها تاثیر بازدارنده‌گی یون‌های تارتارات همراه کاتیون کلسیم بر خوردگی آلومینیم در محلول‌های یک و چهار مولار از پتاسیم هیدروکسید را از این طریق گزارش نمودند [۱۰ و ۱۱]. مقاومت در برابر خوردگی آلومینیم در محیط‌های قلیایی با تشکیل لایه‌ای که سطح فلز را می‌پوشاند، بهبود می‌یابد این لایه، عموماً لایه‌ای است نازک و غیر صیقلی که توسط محققین خیلی زیادی گزارش شده است [۱۲-۱۷]. در این تحقیق، عملکرد بازدارنده‌گی نمک پتاسیم سدیم تارتارات چهار آبه در محلول یک مولار پتاسیم هیدروکسید بر خود خوردگی آلومینیم خالص در غلظت‌های پایینی از بازدارنده با روش‌های الکتروشیمیایی و تصاویر میکروسکوپ الکترونی روشی مطالعه شده است.

## ۲- مواد و روش آزمایش

نمک‌های هیدروکسید پتاسیم و پتاسیم سدیم تارتارات تترا هیدرات از شرکت مرک آلمان خریداری شدند. اندازه‌گیری‌های پلاریزاسیون و امپدانس الکتروشیمیایی در یک سل سه الکترودی بزرگ با دستگاه پتانسیوواستات\_گالوانواستات اتولب

قطعه آلومینیمی رسب نماید و مانع خوردگی بیشتر آلومینیم شود.

### ۳-۲- روشهای محاسباتی

با استفاده از روش تلاقي خطوط راست در نواحی تافلی منحنی های پلاریزاسیون برای غلظت های مختلف از بازدارنده جریان و پتانسیل خوردگی قابل محاسبه می باشند. همچنین می توان با برازش (فیت) این منحنی ها با معادله باتلر-ولمر پارامترهای الکتروشیمیایی از قبیل پتانسیل خوردگی، چگالی جریان خوردگی، شبیه های تافلی آندی و کاتدی را بدست آورده. یکی دیگر از پارامترهای مقایسه ای اثر غلظت های مختلف بازدارنده بر خود خوردگی آلومینیم محاسبه ضریب تاثیر بازدارنده  $(\beta)$  می باشد که با داشتن چگالی جریان خوردگی در غیاب و در حضور بازدارنده در هر غلظتی می توان آنرا از رابطه ۱ محاسبه کرد.

$$\eta_{pol.\%} = \frac{(J_{corr.} - j_{corr.})}{J_{corr.}} \times 100 \quad \text{رابطه ۱}$$

در این رابطه  $j_{corr.}$  و  $J_{corr.}$  به ترتیب چگالی جریان های خوردگی در حضور و در غیاب بازدارنده می باشند. همچنین مقاومت پلاریزاسیون  $R_p$  با استفاده از معادله استرن - گری به صورت رابطه ۲ بدست می آید.

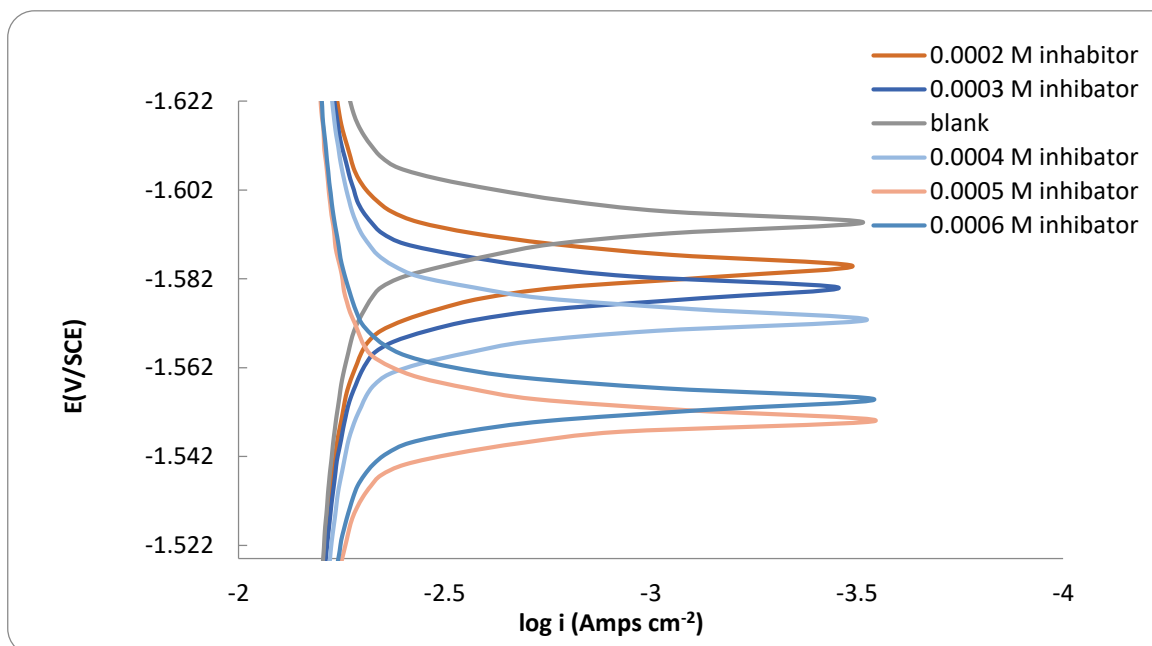
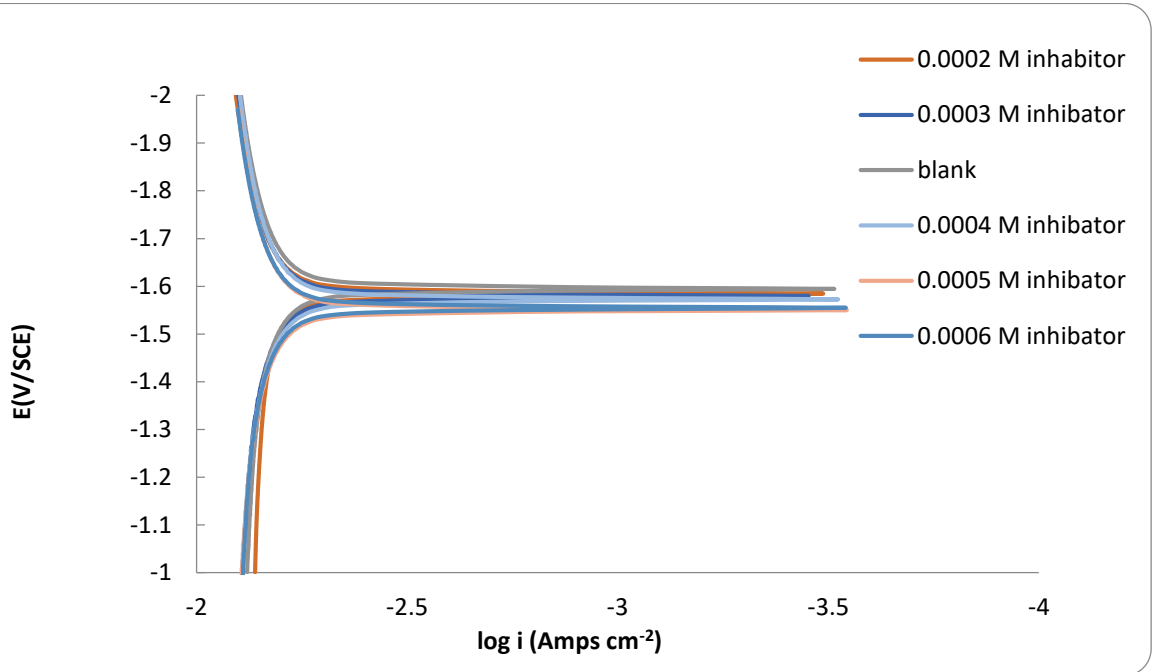
$$R_p = \times \frac{\beta_c \beta_a}{(\beta_c + \beta_a)^{2.303}} \frac{1}{J_{corr.}} \quad \text{رابطه ۲}$$

که با استفاده از مقادیر عددی شبیه های تافلی کاتدی، آندی و شدت جریان خوردگی، مقاومت پلاریزاسیون در هر غلظت از بازدارنده قابل محاسبه است.

### ۳- نتایج و بحث

#### ۳-۱- نمودارهای پلاریزاسیون

شکل ۱ منحنی های پلاریزاسیون آلومینیم خالص در غیاب و در حضور غلظت های مختلف بازدارنده در محیط قلیایی پتاسیم هیدروکسید ۱ مولار در دمای  $30^\circ\text{C}$  درجه سانتی گراد را نشان می دهد. همانگونه که از این منحنی ها مشاهده می شود پتانسیل خوردگی در محیط قلیایی با افزایش غلظت بازدارنده به سمت مقادیر پتانسیل های مثبت تر جابجایی پیدا کرده است این جابجایی همراه با کاهش شدت جریان خوردگی بوده است. میزان جابجایی منحنی های پلاریزاسیون در غلظت معینی به بیشترین مقدار خود می رسد که به آن غلظت بهینه گفته می شود و افزایش غلظت بازدارنده بیش از غلظت بهینه موجب تشدید خوردگی و جابجایی منحنی پلاریزاسیون به سمت پتانسیل های مقادیر منفی می گردد. بازدارنده ها هم می توانند در واکنش های آندی و هم می توانند در واکنش های کاتدی بطور جداگانه و یا در هر دو واکنش بطور همزمان دخالت کرده و مکانسیم واکنش های الکتروودی را تغییر دهنده و معمولاً مورد دوم در عمل بیشتر دیده می شود. از دیدگاه تجربی [۱۸] دریک تقسیم بندی اگر جابجایی پتانسیل خوردگی بزرگتر از هشتاد و پنج میلی ولت باشد بازدارنده را از نوع بازدارنده کاتدی یا آندی می گویند و اگر جابجایی پتانسیل خوردگی کمتر از هشتاد و پنج میلی ولت باشد بازدارنده را از نوع بازدارنده مخلوط می گویند. از آنجاییکه در این آزمایش جابجایی پتانسیل خوردگی در مورد نمک تارتارات، یکصد میلی ولت می باشد لذا می توان تارتارات را بازدارنده ای از نوع کاتدی یا آندی در نظر گرفت. ولی از آنجاییکه جابجایی پتانسیل خوردگی به سمت پتانسیل های مثبت تر است نشان می دهد که تارتارات فقط در واکنش های آندی تاثیر می گذارد. البته مکانسیم تاثیر این بازدارنده دقیقاً معلوم و شناخته شده نیست ولی بنظر می رسد که آنیون تارتارات ممکن است با جذب شدن بر روی مکانهایی که مولکولهای آب آنجاها را اشغال کرده اند با آلومینیم واکنش داده و به صورت تارتارات آلومینیم بر روی



شکل ۱) منحنی های پلاریزاسیون آلومنین خالص در غیاب و در حضور غلظت های مختلف پتاسیم سدیم تارتارات چهار آبه در محلول ۱ مولار پتاسیم هیدروکسید در دمای ۳۰ درجه سانتی گراد در بالا و قسمت بزرگنمایی شده آن در پایین

سطح آلومینیوم و ممانعت از خوردگی می‌شود. در صد ضریب تاثیر بازدارنده  $\eta\%$  نیز با افزایش غلظت بازدارنده افزایش یافته و در غلظت بهینه مقدار آن بیشتر می‌شود.

### ۳-۳- مطالعات امپدانسی

شکل ۲ نمودار نایکویست خوردگی آلومینیم خالص در محلول ۱ مولار پتاسیم هیدروکسید و در غلظت‌های مختلفی از یون‌های تارتارات در دمای  $30^\circ\text{C}$  درجه سانتی‌گراد را نشان می‌دهد.

شکل ۳ نمودار نایکویست امپدانس الکتروشیمیایی خوردگی آلومینیم خالص در غیاب بازدارنده در محلول ۱ مولار پتاسیم هیدروکسید در دمای  $30^\circ\text{C}$  درجه سانتی‌گراد را نشان می‌دهد. بطوری که از این نمودار مشاهده می‌شود، بر اساس گزارش آرمسترانگ [۱۹ و ۲۰] و مکانیسم پیشنهادی زیر، هر نمودار نایکویستی شامل سه ثابت زمانی است که تو صیف آنها به قرار زیر می‌باشد:

الف) یک نیم دایره کوچک (ثابت زمانی اول) در فرکانس‌های بالا (در محدوده فرکانسی  $100\text{ کیلوهرتز تا }39\text{ کیلوهرتز}$ ) که مربوط به رفتار امپدانسی لایه اکسید آلومینیم بر روی آلومینیوم بوده و بر روی محور عرض‌ها قرار دارد.

ب) یک نیم دایره کوچک (ثابت زمانی دوم) در فرکانس‌های متوسط (در محدوده فرکانسی  $39\text{ کیلوهرتز تا }57\text{ هرتز}$ ) که مربوط به رفتار امپدانسی جذب سطحی

درجه پوشش سطحی ( $\theta$ ) برای غلظت‌های مختلف بازدارنده مناسب با شدت جریان خوردگی در حضور و در غیاب بازدارنده بوده و با رابطه ۳ قابل محاسبه است.

$$\text{رابطه ۳} \quad \theta = \frac{J_{corr}}{J}$$

که در آن  $J$  و  $J_{corr}$  چگالی جریان خوردگی در حضور و در غیاب بازدارنده می‌باشد. همچنین سرعت خوردگی بر حسب میلی اینچ در سال از قانون فارادی با رابطه ۴ قابل محاسبه می‌باشد.

$$\text{رابطه ۴}$$

$$C_{R(\text{mpy})} = 1.2866 * 10^5 * j_{corr} (\text{amp/cm}^2) E.W.(g) / \rho(g/\text{cm}^3)$$

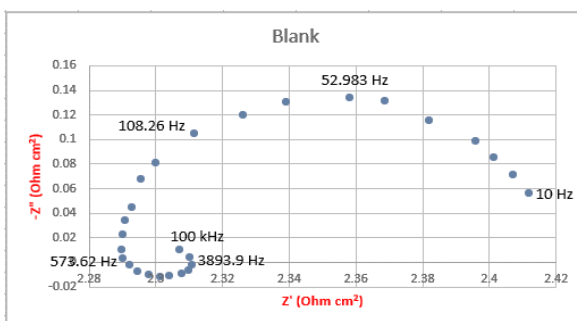
جدول ۱ سرعت خوردگی بدست آمده از نمودارهای پلاریزاسیون برای آند آلومینیومی در غلظت‌های مختلفی از بازدارنده در محیط پتاسیم هیدروکسید یک مولار و در دمای  $30^\circ\text{C}$  درجه سانتی‌گراد را نشان می‌دهد. همانگونه که از مقادیر این جدول مشخص است با افزایش غلظت بازدارنده سرعت خوردگی کاهش می‌یابد و این کاهش در غلظت بهینه، بیشتر از سایر غلظت‌های است، همچنین با افزایش غلظت بازدارنده مقاومت پلاریزاسیون در الکتروولیت افزایش می‌یابد که نشان دهنده جذب سطحی بازدارنده بر روی سطح صفحه آلومینیمی بوده که منجر به بلوکه شدن مکان‌های فعال روی

جدول ۱) پارامترهای خوردگی حاصل از برآذش منحنی‌های پلاریزاسیون آلومینیم خالص در محلول ۱ مولار پتاسیم هیدروکسید در حضور و در غیاب پتاسیم سدیم

Concentration (M)	$\beta_a$ (mV/decade)	$ \beta_c $ (mV/decade)	$J_{corr.}$ (A/cm <sup>2</sup> )	$E_{corr.}$ Volt	CR (mpy)	$R_p$ (Ohm cm <sup>2</sup> )	$\eta\%$
Blank	۴۲/۹	۳۳/۱۵	۰/۰۰۳۶۱	-1/۵۹۴	۱۵۴۸/۲۰۸	۲۲۴۹/۲۶۴	-
۰/۰۰۰۲	۲۳/۷۸۹	۴۰/۴۷	۰/۰۰۲۰۸	-1/۵۸۴	۹۳۴/۹۲۹	۲۹۸۴/۱۸	۳۹/۶۱۲
۰/۰۰۰۳	۱۸/۴۱	۲۸/۹۷	۰/۰۰۱۶	-1/۵۸۰	۶۸۶/۱۸۶	۳۰۵۴/۸۷۴	۵۵/۶۷۸
۰/۰۰۰۴	۲۱/۷	۱۹/۶	۰/۰۰۱۳	-1/۵۷۲	۵۵۷/۵۲۶	۳۴۳۹/۷۶۳	۶۳/۹۸۸
۰/۰۰۰۵	۱۶/۶۴	۱۸/۴۶۹	۰/۰۰۱۱	-1/۵۵۲	۴۷۱/۷۵۳	۳۴۵۵/۳۴۷	۶۹/۵۲۹
۰/۰۰۰۶	۱۹/۶۲	۲۹/۷۹	۰/۰۰۱۷	-1/۵۵۴	۷۲۹/۰۷۳	۳۰۲۱/۴۲۵	۵۲/۹۰۸

بازدارنده یا آنیون هیدروکسیل بر روی آلومینیم بوده و در زیر محور عرض ها قرار دارد.

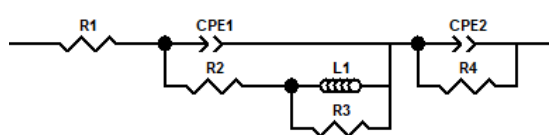
ج) یک نیم دایره بزرگ (ثابت زمانی سوم) در فرکانس های پایین (در محدوده فرکانسی ۵۷۰ هرتز تا ۱۰ هرتز) که مربوط به رفتار امپدانس ( مقاومت ) انتقال بار بوده و بر روی محور عرض ها قرار دارد.



شکل ۳) نمودار نایکویست امپدانس الکتروشیمیایی برای خوردگی آلومینیم در غیاب بازدارنده در محلول ۱ مولار پتاسیم هیدروکسید

#### ۳-۴- آنالیز منحنی های امپدانسی

رفتار امپدانسی نشان داده شده در نمودارهای نایکویست شکل های ۲ و ۳ را می توان با مدار معادل شکل ۴ معادل سازی کرد، ولی از آنجاییکه مقادیر فیت شده با داده های تجربی اختلاف نشان می دهند، پارامترهای بدست آمده چندان معتبر نبوده و نیازمند شناسایی عوامل دخیل ناشناخته دیگر می باشد که خارج از بحث این مطالعه است.

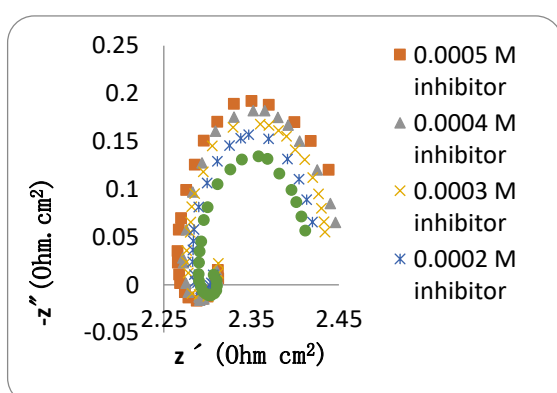


شکل ۴) مدار معادل الکتریکی پیشنهادی برای نمودارهای نایکویست تجربی

#### ۳-۵- ایزووترم های جذب سطحی

برای محاسبه پارامترهای جذب سطحی آنیون تارتارات بر روی سطح فلز آلومینیم در محلول یک مولار پتاسیم هیدروکسید داده های کسر پوشش سطحی بدست آمده از آزمایشات الکتروشیمیایی در غلظت های متفاوت با انتباط دادن با الگوی جذب سطحی لانگمویر بررسی شد. نتایج حاصل نشان دهنده انتباط خوب جذب سطحی انجام گرفته با این الگو می باشد. رابطه ایزووترم جذب سطحی لانگمویر

همانطوریکه از نمودار های اشکال ۲ و ۳ مشخص است مقاومت انتقال بار با افزایش غلظت بازدارنده افزایش می یابد که تاییدی بر عملکرد مطلوب بازدارنده در ممانعت از خوردگی سطح آلومینیم می باشد. حلقه های کوچک در فرکانس های میانی نیز جذب شدن بازدارنده بر روی سطح فلزی را تایید می نمایند.



شکل ۲) نمودار های نایکویست امپدانس الکتروشیمیایی برای فلز آلومینیم در غلظت های مختلف از بازدارنده در محلول ۱ مولار پتاسیم هیدروکسید

الکترواستاتیک (جذب فیزیکی) و مقادیر منفی تراز ۴۰- کیلوژول برمول نشان دهنده جذب سطحی قوی تر (جذب شیمیایی) بر روی سطح فلز را نشان می دهد. در مطالعه اخیر برای جذب سطحی بازدارنده پتا سیم سدیم تارتارات چهار آبه بر روی صفحه آلومنیم مقدار تغییرات انرژی آزاد گیبس استاندارد در دمای ۳۰ درجه سانتی گراد  $-31/57$ - کیلوژول بر مول محاسبه شد. لذا بر اساس نتیجه بدست آمده، جذب پتاسیم سدیم تارتارات چهار آبه بر روی فلز آلومنیم در محلول قلیایی پتاسیم هیدروکسید شامل هردو نوع برهmekش (فیزیکی و شیمیایی) می گردد.

**جدول ۲) ثابت تعادل و تغییرات انرژی آزاد گیبس استاندارد جذب سطحی پتاسیم سدیم تارتارات تترا هیدرات بر روی سطح آلومنیم**

T / °C	$K_{ads.}$	$\Delta G^\theta$ (kJ/mole)
۳۰	۵۰۰۰	-۳۱/۵۷

### ۶-۳- آنالیز سطحی

تصاویر میکروسکوپ الکترونی روبشی سطح آند آلومنیمی غوطه ور در محلول ۱ مولار پتاسیم هیدروکسید در غلظت بهینه بازدارنده و در غیاب بازدارنده در شکل ۶ نشان داده شده است. بطوری که از این تصاویر دیده می شود آند آلومنیمی در غیاب بازدارنده دارای سطحی زبر است که خوردگی یکنواخت در آن دیده می شود. افزودن یونهای پتاسیم سدیم تارتارات چهار آبه در محلول باعث تغییر ساختار سطح آند آلومنیمی می گردد لذا می توان چنین استنباط کرد که آنیون بازدارنده بصورت فیلم رسوب گذاری شده بر روی سطح آند فلزی قرار گرفته و مانع خوردگی سطح آلومنیم می گردد. نتایج بالا نشان می دهد واکنش زیر

بقرار رابطه ۵ است که در آن C غلظت بازدارنده و  $\Theta$  کسر پوشش سطحی و  $K_{ads}$  ثابت تعادل جذب سطحی می باشد. از رسم منحنی تغییرات  $\frac{C}{\Theta}$  بر حسب C در شکل ۵ مقدار ثابت تعادل جذب سطحی قابل حصول است [۲۱].

**رابطه ۵**

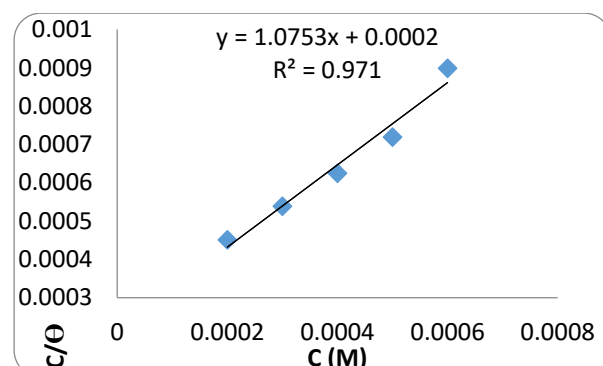
$$\frac{C}{\Theta} = \frac{1}{K_{ads}} + C$$

تغییرات انرژی آزاد گیبس استاندارد فرآیند جذب سطحی می تواند از روی مقدار ثابت تعادل جذب سطحی از رابطه ۶ محاسبه شود.

**رابطه ۶**

$$\Delta G^\theta = -RT \ln(55.5K_{ads.})$$

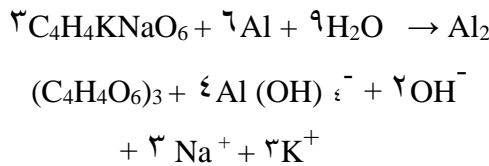
که در آن  $55/5$  تعداد مول آب، R ثابت عمومی گازها و T دمای واکنش بر حسب درجه کلوین می باشد. نتایج این مدل در جدول ۲ آورده شده اند.



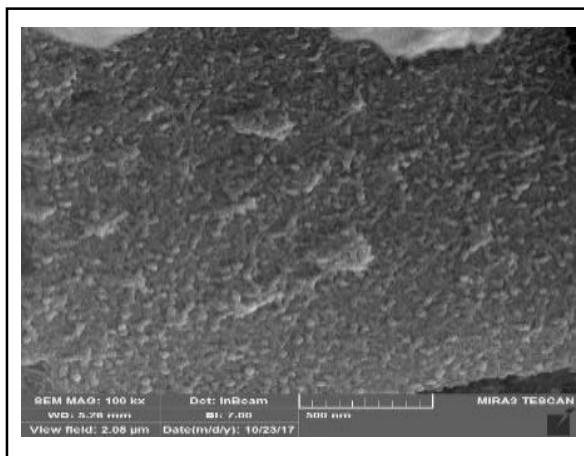
شکل ۵) نمودار ایزووترم جذب سطحی لانگمویر پتاسیم سدیم تارتارات تترا هیدرات بر روی سطح آلومنیم در محلول یک مولار پتاسیم هیدروکسید در دمای ۳۰ درجه سانتی گراد

مقادیر تغییرات انرژی آزاد گیبس استاندارد جذب سطحی تا ۲۰- کیلوژول برمول نشان دهنده برهmekش های

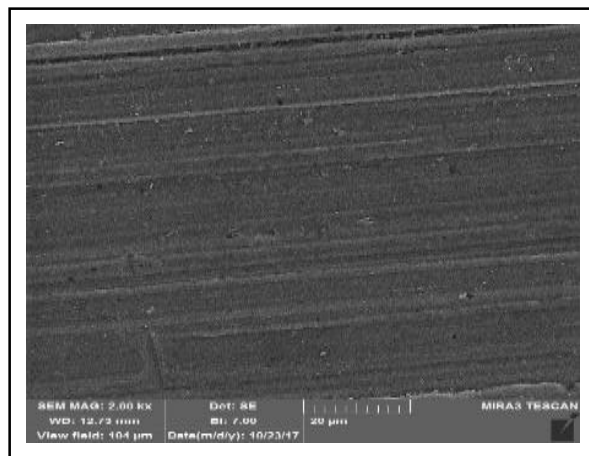
جذب سطحی شده بیشتر از فلز آلومینیم می باشد از خود خوردگی آلومینیم ممانعت نماید.



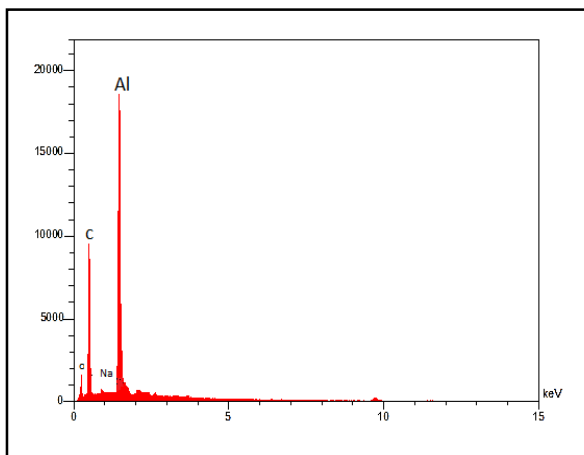
در هنگام افزوده شدن بازدارنده پتاسیم سدیم تارتارات چهار آب به احتمال زیاد اتفاق می افتد. آنیون جذب سطحی شده بر روی آند (طبق رابطه زیر) باعث ممانعت از خوردگی بیشتر آلومینیم شده و از طرفی باعث می گردد الکترولیت حاوی ذرات بازدارنده در محلول حالت اشباعی به خود نگیرد و نهایتاً بدلیل اینکه پتانسیل متضاد شدن گاز هیدروژن از لایه



(ب)



(الف)



(د)



(ج)

شکل ۶) تصاویر میکروسکوپ الکترونی دوبشی از سطح فلز آلومینیم پس از غوطه وری در محلول ۱ مولار پتاسیم (الف) محلول فاقد بازدارنده (ب) محلول حاوی بازدارنده در غلظت بیهده (ج) شکل ظاهری صفحه آلومینیم پس از جذب سطحی بازدارنده و (د) نتایج آنالیز عنصری سطح در ناحیه جذب سطحی بازدارنده

## نتیجه گیری

در این کار سرعت خود خوردگی آلومینیم خالص در محلول یک مولار پتاسیم هیدروکسید در غیاب و در حضور غلظت های مختلفی از تارتارات بررسی گردید. نتایج بدست آمده نشان دهنده کاهش خود خوردگی آلومینیم با افزایش غلظت بازدارنده بوده و در غلظت بهینه، مقدار کاهش خود خوردگی مقدار ماکزیمم را پیدا می کند. براساس مطالعات میکروسکوپ الکترونی روبشی و نتایج نمودارهای پخش انرژی اشعه ایکس قطعات آلومینیومی خورد شده در حضور و در غیاب بازدارنده، مشخص گردید لایه جذب سطحی شده بازدارنده بر روی سطح آلومینیم باعث جلوگیری از خود خوردگی آلومینیم می شود که در باتری های آلومینیم - هوا باعث افزایش راندمان می گردد.

## مراجع

- [1] P. G. Bruce, S. A. Freunberger, L. J. Hardwick, J. M. Tarascon, Li-O<sub>2</sub> and Li-S batteries with high energy storage, *Nat. Mater.* Vol. 11, 2012, Pp. 19-29.
- [2] Q. Li, N. J. Bjerrum, Aluminum as anode for energy storage and conversion: a review, *J. Power Sources* Vol.110, 2002, Pp. 1-10.
- [3] R. Mori, Electrochemical properties of a rechargeable aluminum-air battery with a metal organic framework as air cathode material, *RSC Adv.* Vol. 7, 2017, Pp. 6389-6395.
- [4] M. Mokhtar, M. Z. M. Talib, E. H. Majlan, S. M. Tasirin, W. M. F. W. Ramli, W. R.W. Daud, J. Sahari, Recent developments in materials for aluminum-air batteries: a review, *J. Industrial Eng. Chem.* Vol. 32, 2015, Pp. 1-20.
- [5] H. G. Schwarz, Aluminum production and energy, *Encycl. Energy* Vol.1, 2004, Pp. 81-95.
- [6] M. Nestoridi, D. Pletcher, R. J. K. Wood, S. Wang, R. L. Jones, K. R. Stokes, I. Wilcock, The study of aluminum anodes for high power density Al/air batteries, *J. Power Sources* Vol. 178, 2008, Pp. 445-455.
- [7] A. Eftekhari, P. Corrochano, Electrochemical energy storage by aluminum as a lightweight and cheap anode/charge carrier, *Sustainable Energy Fuels*, Vol. 1, 2017, Pp. 1246-1264.
- [8] L. Fan, H. Lu, The effect of grain size on aluminum anodes for Al-air batteries in alkaline electrolytes, *J. Power Sources* Vol. 284, 2015, Pp. 409-415.
- [9] M. Pino, D. Herranz, J. Chac\_on, E. Fat\_as, P Carbon treated commercial aluminum alloys as anodes for aluminum-air batteries in sodium chloride electrolyte, *J. Power Sources* Vol. 326, 2016, Pp. 296-302.
- [10] H.B. Shao, J.M. Wang, Z. Zhang, J.Q. Zhang, and C.N. Cao, Inhibition effect of calcium tartrate on the corrosion of pure aluminum in an alkaline solution, *Corrosion*, Vol. 57 (7), 2001, Pp. 577-581.
- [11] H. B. Shao, J. M. Wang, Z. Zhang, J. Q. Zhang, C. N. Cao, The cooperative effect of calcium ions and tartrate ions on the corrosion inhibition of pure aluminum in alkaline solution, *Mater. Chem. Phys.* Vol. 77 (2), 2002, Pp. 305-309.
- [12] A.S. Fouda, A.A. Al-Sarawy, F.Sh. Ahmed, H.M. El-Abbasy, Corrosion inhibition of aluminium 6063 using some pharmaceutical, *Corros. Sci.* Vol. 51, 2009, Pp. 485– 492.
- [13] G.A. El Mahdy, S.S. Mahmoud, Inhibition of acid corrosion of pure aluminum with 5-benzylidene-1-methyl-2-methylthio- imidazole-4-one, *Corrosion NACE* Vol. 51, 1995, Pp. 436–440.
- [14] M. Abdallah, Antibacterial drugs as corrosion inhibitors for corrosion of aluminium in hydrochloric solution, *Corros. Sci.* Vol. 46, 2004, Pp. 1981–1996.
- [15] S.M. Hassan, Y.A. Elawady, A.I. Ahmed, A.O. Baghla, Studies on the inhibition of aluminium dissolution by some hydrazine derivatives, *Corros. Sci.* Vol. 19, 1979, Pp. 951–959.

- [16] A.M. Abdel-Gaber, E. Khamis, H. Abo-Eldahab, Sh. Adeel, Novel package for inhibition of aluminium corrosion in alkaline solutions, Mater. Chem. Phys. Vol. 124, 2010, Pp. 773–779.
- [17] T. Zhao, G. Mu, The adsorption and corrosion inhibition of anion surfactants on aluminium surface in hydrochloric acid, Corros. Sci. Vol. 41, 1999, Pp. 1937–1944.
- [18] Ishtiaque Ahamad, Rajendra Prasad, M.A. Quraishi, Adsorption and inhibitive properties of some new Mannich bases of Isatin derivatives on corrosion of mild steel in acidic media, Corrosion Science Vol. 52, 2010, Pp. 1472-1481.
- [19] R.D. Armstrong and V.J. Braham, The mechanism of aluminum corrosion in alkaline solutions, Corrosion Science, Vol. 38 (9), 1996, Pp. 1463-1471.
- [20] P. Su-II and M. Sung-Mo, Corrosion mechanism of pure aluminum in aqueous alkaline solution, J. Solid State Electrochem. Vol. 4, 2000, Pp. 267-272.
- [21] N. O. Obi-Egbedi, I. B. Obot, Adsorption behavior and corrosion inhibitive potential of xanthene on mild steel/sulphuric acid interface, Arabian Journal of Chemistry Vol. 10, 2017, Pp. 121–130.